

Photonic Anomalous Quantum Hall Effect

Présentation d'un article de recherche

Auteurs : **Sunil Mittal, Venkata Vikram Orre, Daniel Leykam, Y.D. Chong, Mohammad Hafezi**
Étudiants : **Joseph Touzet, Lucien Wacquez**

2 février 2023

- 1 Hamiltonien de Haldane
 - Hypothèses et intérêt
 - L'hamiltonien en question

- 2 Implémentation expérimentale
 - Présentation du dispositif
 - Hamiltonien global

- 3 Mesures et interprétations des résultats
 - Matériau topologiquement trivial
 - Matériau topologiquement non trivial
 - Brisure de symétrie temporelle
 - Interface entre matériaux triviaux et non triviaux

Hamiltonien de Haldane

Hypothèses et intérêt

- 1 Briser la symétrie par renversement du temps pour obtenir des matériaux topologiques non triviaux
- 2 Variante du graphène avec ajout d'une phase faisant office de paramètre de contrôle
- 3 Prise en compte des sauts entre deuxièmes plus proches voisins (paramètre de saut différent)

Hamiltonien de Haldane

Hypothèses et intérêt

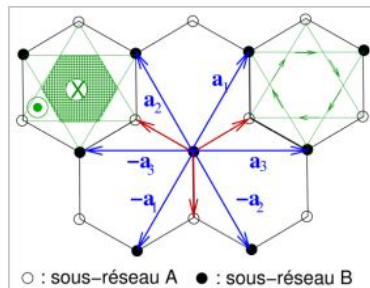


$$t'e^{i\phi}$$

pour saut de k à l

$$t'e^{-i\phi}$$

pour saut de l à k



Hamiltonien de Haldane

L'hamiltonien en question

$$H = \begin{pmatrix} AA & AB \\ AB^* & BB \end{pmatrix}$$

$$AA = 2t' \sum_{j=1}^3 \cos(b_j \cdot k - \phi) + \Delta$$

$$AA = 2t' \sum_{j=1}^3 \cos(b_j \cdot k + \phi) - \Delta$$

$$AB = AB^* = -t \left[1 + e^{ib_2 \cdot k} + e^{ib_3 \cdot k} \right]$$

Hamiltonien de Haldane

L'hamiltonien en question

$$H = \begin{pmatrix} \boxed{AA} & AB \\ AB^* & \boxed{BB} \end{pmatrix}$$
$$AA = 2t' \sum_{j=1}^3 \cos(b_j \cdot k) - \phi + \Delta$$
$$AA = 2t' \sum_{j=1}^3 \cos(b_j \cdot k) + \phi - \Delta$$
$$AB = AB^* = -t \left[1 + e^{ib_2 \cdot k} + e^{ib_3 \cdot k} \right]$$

Hamiltonien de Haldane

L'hamiltonien en question

$$H = \begin{pmatrix} \boxed{AA} & AB \\ AB^* & \boxed{BB} \end{pmatrix}$$

$$AA = 2t' \sum_{j=1}^3 \cos(b_j \cdot k) \boxed{-\phi} \boxed{+ \Delta}$$

$$AA = 2t' \sum_{j=1}^3 \cos(b_j \cdot k) \boxed{+\phi} \boxed{-\Delta}$$

$$AB = AB^* = -t \left[1 + e^{ib_2 \cdot k} + e^{ib_3 \cdot k} \right]$$

Hamiltonien de Haldane

L'hamiltonien en question

$$H = \begin{pmatrix} AA & AB \\ AB^* & BB \end{pmatrix}$$

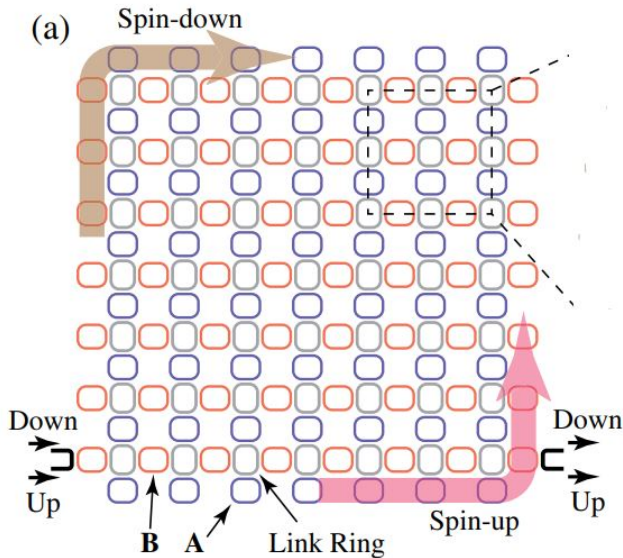
$$AA = 2t' \sum_{j=1}^3 \cos(b_j \cdot k - \phi) + \Delta$$

$$AA = 2t' \sum_{j=1}^3 \cos(b_j \cdot k + \phi) - \Delta$$

$$AB = AB^* = -t \left[1 + e^{ib_2 \cdot k} + e^{ib_3 \cdot k} \right]$$

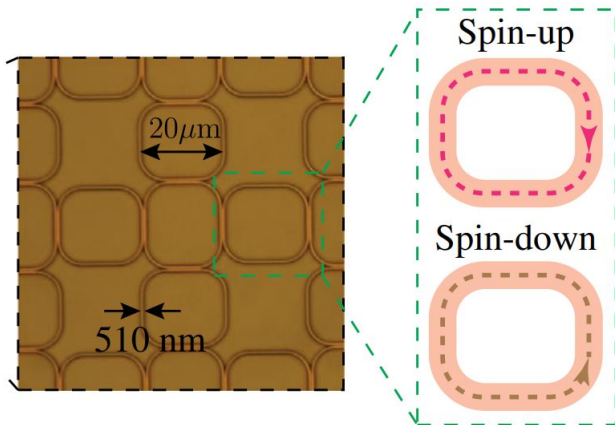
Implémentation expérimentale

Présentation du dispositif



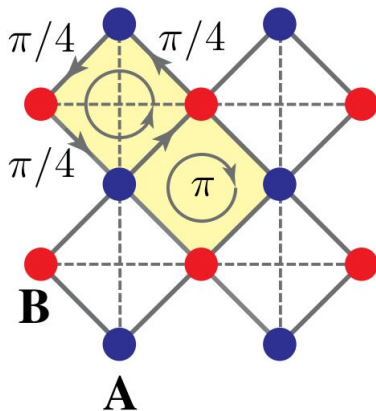
Implémentation expérimentale

Présentation du dispositif



Implémentation expérimentale

Présentation du dispositif



Implémentation expérimentale

Hamiltonien global

$$H = \sum_{i,\sigma} (\omega_0 - M) a_{i,\sigma}^\dagger a_{i,\sigma} + (\omega_0 + M) b_{i,\sigma}^\dagger b_{i,\sigma} \\ - \sum_{\langle i,j \rangle, \sigma} J \left(a_{j,\sigma}^\dagger a_{i,\sigma} + b_{j,\sigma}^\dagger b_{i,\sigma} + a_{j,\sigma}^\dagger b_{i,\sigma} e^{-i\sigma\phi_{ij}} + H.c. \right)$$

Implémentation expérimentale

Hamiltonien global

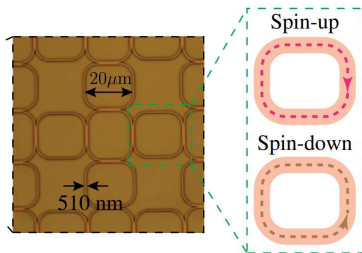


Figure: Image des résonateurs.

$$H = \sum_{i,\sigma} (\omega_0 - M) a_{i,\sigma}^\dagger a_{i,\sigma} + (\omega_0 + M) b_{i,\sigma}^\dagger b_{i,\sigma} \\ - \sum_{\langle i,j \rangle, \sigma} J (a_{j,\sigma}^\dagger a_{i,\sigma} + b_{j,\sigma}^\dagger b_{i,\sigma} + a_{j,\sigma}^\dagger b_{i,\sigma} e^{-i\sigma\phi_{ij}} + H. c.)$$

Implémentation expérimentale

Hamiltonien global

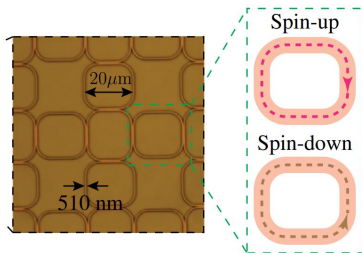


Figure: Image des résonateurs.

$$H = \sum_{i,\sigma} (\omega_0 - M) a_{i,\sigma}^\dagger a_{i,\sigma} + (\omega_0 + M) b_{i,\sigma}^\dagger b_{i,\sigma} \\ - \sum_{\langle i,j \rangle, \sigma} J (a_{j,\sigma}^\dagger a_{i,\sigma} + b_{j,\sigma}^\dagger b_{i,\sigma} + a_{j,\sigma}^\dagger b_{i,\sigma} e^{-i\sigma\phi_{ij}} + H. c.)$$

Implémentation expérimentale

Hamiltonien global

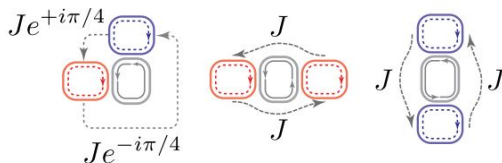


Figure: Schéma des couplage entre les résonateurs voisins:

- Millieu: couplage entre deux résonateurs B .
- Droite: couplage entre deux résonateurs A .

$$H = \sum_{i,\sigma} (\omega_0 - M) a_{i,\sigma}^\dagger a_{i,\sigma} + (\omega_0 + M) b_{i,\sigma}^\dagger b_{i,\sigma} - \sum_{\langle i,j \rangle, \sigma} J \left(\boxed{a_{j,\sigma}^\dagger a_{i,\sigma}} + \boxed{b_{j,\sigma}^\dagger b_{i,\sigma}} + a_{j,\sigma}^\dagger b_{i,\sigma} e^{-i\sigma\phi_{ij}} + H. c. \right)$$

Implémentation expérimentale

Hamiltonien global

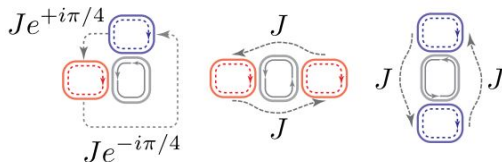


Figure: Schéma des couplage entre les résonateurs voisins:

- Gauche: couplage entre des résonateurs A et B

$$H = \sum_{i,\sigma} (\omega_0 - M) a_{i,\sigma}^\dagger a_{i,\sigma} + (\omega_0 + M) b_{i,\sigma}^\dagger b_{i,\sigma} - \sum_{\langle i,j \rangle, \sigma} \left[J (a_{j,\sigma}^\dagger a_{i,\sigma} + b_{j,\sigma}^\dagger b_{i,\sigma} + a_{j,\sigma}^\dagger b_{i,\sigma} e^{-i\sigma\phi_{i,j}}) + H. c. \right]$$

Mesures et interprétations des résultats

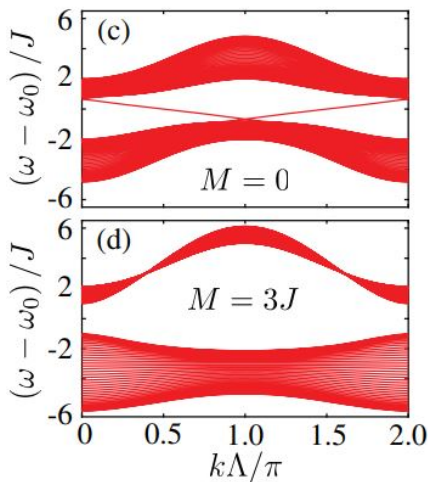
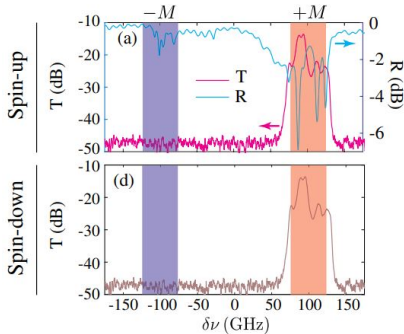


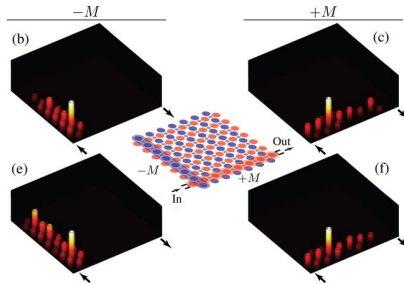
Figure: Diagramme de bande pour (c) $M = 0$ (topologique), on remarque alors des états de bords; et (d) $M = 3J > 2J$ (trivial).

Mesures et interprétations des résultats

Matériau topologiquement trivial



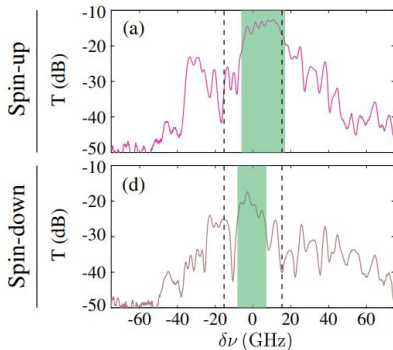
(a) Mesures d'atténuation de transmission et de réflexion pour [en haut] le pseudo-spin up et [en bas] le pseudo-spin down.



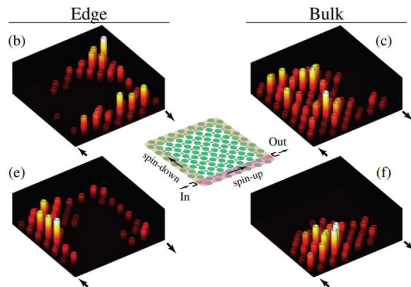
(b) Répartition d'intensité pour un pseudo-spin up ou down pour ((b) et (e)) la bande $-M$ et ((c) et (f)) la bande M , que l'on remarque indépendante du pseudo-spin.

Mesures et interprétations des résultats

Matériau topologiquement non trivial - Brisure de symétrie temporelle



(a) Mesures d'atténuation de transmission et de réflexion pour (a) le pseudo-spin up ((b) et (c)) et (d) le pseudo-spin down ((e) et (f)).



(b) Répartition d'intensité pour le pseudo-spin up ((b) et (c)) et (d) le pseudo-spin down ((e) et (f)), et pour un état de bord ((b) et (e)) ou de volume ((c) et (f)).

Mesures et interprétations des résultats

Interface entre matériaux triviaux et non triviaux

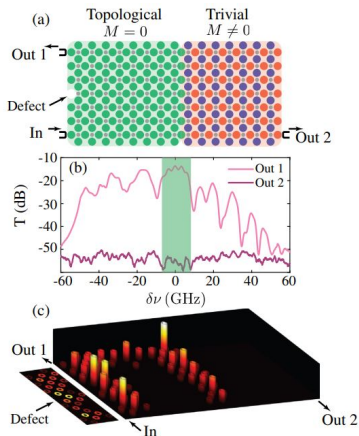


Figure: (a) interface de deux device: une topologique ($M = 0$) et une triviale ($M \neq 0$).
(b) Mesure d'atténuation de transmission et de réflexion (pseudo-spin down).
(c) Répartition d'intensité: On remarque que le photon suit l'interface.

Conclusion

- 1 L'implémentation photonique d'un phénomène de matière condensée est pertinente
- 2 Elle permet de mieux contrôler les différents paramètres pratiques
- 3 Le substrat en silice permet un potentiel contrôle actif des paramètres (chauffage, ou contrôle électro-optique).